

١٩٣٧

۸۷/۱/۱۰۹۲۳
۸۷/۱/۲۲



پایان نامه جهت دریافت درجه کارشناسی ارشد
میکروبیولوژی

عنوان: بررسی شیوع پاروویروس B19 انسانی در اهداکنندگان خون به روش
PCR و ELISA

استاد راهنمای:

جناب آقای دکتر مسعود حسینی

جناب آقای دکتر محمود محمودیان شوستری

استاد مشاور:

سرکار خانم دکتر زهره شریفی

۱۳۸۷ / ۱۰ / ۲

نگارش:

فاطمه محمودی

بهمن ماه ۱۳۸۶

تقدیم به:

پدرم، نخستین آموزگارم

مادرم، نخستین عشقم

برادرم، نخستین راهنمایم

خواهرانم، نخستین دوستانم

همسرم، تنها همراهم

بهنام پروردگار اندیشه‌مندان

جناب آقای دکتر سید مسعود حسینی، استادیار محترم دانشکده زیست‌شناسی دانشگاه شهید بهشتی،

جناب آقای دکتر محمود محمودیان شوشتاری، استادیار محترم مرکز تحقیقات سازمان انتقال خون ایران،

سرکار خانم دکتر زهره شریفی، استادیار محترم مرکز تحقیقات سازمان انتقال خون ایران،

شاپرک است و بر خود می‌دانم مراتب سپاس و قدردانی خود را از شما اساتید گراماییه به جای آورم؛ با این‌که می‌دانم چند سطر مجالی بس کوتاه است برای ادای این مهم. مقام شامختان را می‌ستایم و سعادت، سلامت و بهروزی تان را از دادار خواهانم. صمیمانه از راهنمایی‌ها و نظرات ارزشمندان سپاسگزارم، امید آن دارم که شایستگی شاگردی تان را داشته باشم.

از محبت و همراهی دوست و همکلاسی عزیزم سرکار خانم آمنه الیکایی تشکر و قدردانی می‌نمایم، آرزومندم در طلب دانش هماره ثابت قدم و کامیاب باشند.

از زحمات بی‌شایبیه جنابان آقای یحیی معروفی و آقای قاسم حسن‌نژاد، اعضای بخش ویروس‌شناسی مرکز تحقیقات سازمان انتقال خون ایران، کمال امتنان دارم؛ چراکه اگر همکاری‌ها و محبت‌هایشان نبود، قطعاً "اجهام این طرح مقدور نمی‌شد.

بار خدایا، منت تو راست که کار جهان چنان راست گردانیدی که طلبه‌ای باشم و مردمان نیک روزگار دستم گیرند و راه چشمۀ دانش را نشانم دهنند.

بار الها، چنان مقدر فرما که در پی آب نباشم؛ بل تشنگی جویم. سینه‌ای فراخ و توفیقی نصیبم گردن تا نشانه‌هایت را دریابم و چنان کن که تا آخرین لحظه حیات دمی از آموختن بازنمایم.

بررسی شیوع پاروویروس B19 انسانی در اهداکنندگان خون به روش ELISA و PCR

پاروویروس B19 انسانی ویروس بسیار کوچک با DNA تکرشته، بدون پوشش و عضو خانواده پارووییده می‌باشد. این ویروس موجب بروز تعدادی از بیماری‌های بالینی شامل اریتمای عفونی (بیماری پنجم)، هیدروپیس فتالیس، بحران آپلاستیک گذرا، آرتروپاتی و کم‌خونی مادرزادی می‌شود. انتقال ویروس از طریق تنفس، انتقال خون و فراورده‌های خونی است. DNAی B19 از طریق روش‌های حساس PCR قابل تشخیص است. بررسی‌های قبلی نشانگر آن است که افرادی که ایمونوگلوبولین از نوع IgG ضد ویروس در خونشان ظاهر شده، از نظر وجود ویروس منفی هستند. آنتی‌بادی‌های کلاس IgM پاروویروس B19 انسانی به طور معمول برای چندین ماه و آنتی‌بادی کلاس IgG پاروویروس B19 برای چندین سال و حتی تا پایان عمر دارند. هدف این مطالعه تعیین شیوع پاروویروس B19 انسانی در بین اهداکنندگان خون در تهران بود.

سرم ۳۶۵ اهداکننده خون که از نظر HIV و HCV منفی بودند، از نظر حضور IgM و IgG علیه پاروویروس B19 ابتدا به روش ELISA، سپس تمام سرم‌ها برای حضور DNA ویروس با روش semi-nested PCR مورد بررسی قرار گرفت.

از میان ۳۶۵ اهداکننده خون، ۲ نفر (۰.۰٪) آنتی‌بادی IgM علیه ویروس را دارا بودند و سرم این افراد برای IgM anti B19 مثبت گزارش شد و از میان این تعداد اهداکننده، ۱۶۹ نفر (۴۶٪) آنتی‌بادی IgG علیه ویروس مثبت بودند. DNAی پاروویروس B19 در هیچ یک از سرم اهداکنندگان یافت نشد (۰٪).

با این‌که عفونت B19 در برخی دریافت‌کننده‌های خون می‌تواند عوارض جدی به همراه داشته باشد، هنوز غربالگری اهداکنندگان برای این ویروس در مصرف کنندگان اجباری نیست. در این مطالعه، شیوع IgG در میان اهداکنندگان بالا بود و در هیچ یک از نمونه‌ها DNAی ویروس تشخیص داده نشد. مطالعات بیشتر بر روی تعداد زیادی اهداکننده و همچنین گروه‌های پرخطر لازم است.

کلمات کلیدی: پاروویروس B19؛ اهداکنندگان خون؛ شیوع؛ nested PCR

AAV: Associated Adeno Virus
CFA: Chronic Fatigue Syndrome
dNTP: deoxy Nucleotides Three Phosphate
DNA: Deoxy Nucleic Acid
EBV: Epstein Barr Virus
EIA: Enzyme Immuno- assay
ELISA: Enzyme Linked Immuno- Sorbent Assay
Gb4: Globoside, P Ag
G6PD: Glucose 6 Phosphate
HPB19V: Human Parvovirus B19 Virus
HIV: Human Immuno- deficient Virus
IDA: Immuno- Diffusion Assay
IFA: Immuno fluorescence Assay
IgG: Immunoglobulin G
IgM: Immunoglobulin M
ISH: In- Situ Hybridization
ITP: Idiopathic Thrombocytopenic Purpura
MVM: Minute Virus of Mice
NIHF: Non Immune Hydrops Fetalis
NS: Non Structural protein of B19
ORF: Open Reading Frame
P Ag: P Antigen, receptor of B19 on erythroid cells
PCR: Polymerase Chain Reaction
PRCA: Pure Red Cell Aplasia
RA: Romatoid Arthritis
RF: Romatoid Factor
RIA: Radio Immuno- assay
RBC: Red Blood Cell
RHA: Receptor Mediated Haemagglutination Assay

SPSS: Statistical Package for Social Sciences

TAC: Transient Aplastic Crisis

VAHSA: Virus Associated Hemophagocytic Syndrome

VP: structural protein of B19

UV: Ultra Violet

| | |
|--|-----------|
| عنوان..... | صفحه..... |
| فهرست مطالب..... | ۵..... |
| فهرست جدولها..... | ز..... |
| فهرست شکلها..... | ط..... |
| ۱- فصل اول: کلیات..... | ۱..... |
| ۱-۱- مقدمه..... | ۲..... |
| ۱-۲- تاریخچه..... | ۵..... |
| ۱-۳- ویروس..... | ۶..... |
| ۱-۳-۱- ساختار..... | ۶..... |
| ۱-۳-۲- ژنوم..... | ۶..... |
| ۱-۳-۳- خصوصیت‌های فیزیکوشیمیایی..... | ۹..... |
| ۱-۳-۴- طبقه‌بندی..... | ۹..... |
| ۱-۳-۵- چرخه زندگی..... | ۱۲..... |
| ۱-۴- بررسی‌های بالینی..... | ۱۴..... |
| ۱-۴-۱- شیوع..... | ۱۴..... |
| ۱-۴-۲- انتقال..... | ۱۵..... |
| ۱-۴-۳- اهمیت بالینی..... | ۱۶..... |
| ۱-۴-۴- تظاهرات بالینی..... | ۱۷..... |
| ۱-۴-۴-۱- در افراد سالم..... | ۱۷..... |
| ۱-۴-۴-۲- در میزبان با اینمی سرکوب شده..... | ۲۱..... |
| ۱-۴-۴-۳- در دوران بارداری..... | ۲۴..... |
| ۱-۴-۵- پاسخ اینمی و سرولوزی بیماری..... | ۲۹..... |
| ۱-۴-۵-۱- پاسخ هومورال..... | ۲۹..... |
| ۱-۴-۵-۲- پاسخ سلوی..... | ۳۱..... |
| ۱-۵- تشخیص آزمایشگاهی..... | ۳۲..... |
| ۱-۵-۱- آسیب‌شناسی سلوی..... | ۳۲..... |

| | |
|---------|--|
| ۳۳..... | B19 - ۱-۵-۲ |
| ۳۳..... | ۱-۵-۳ - هیستولوژی |
| ۳۳..... | ۱-۵-۴ - آزمایش‌های سرولوژی |
| ۳۵..... | ELISA - ۱-۵-۴-۱ |
| ۳۹..... | ۱-۵-۵ - آزمایش‌های مولکولی |
| ۴۱..... | ۱-۵-۵-۱ - استخراج DNA |
| ۴۱..... | PCR - ۱-۵-۵-۲ |
| ۴۴..... | ۱-۵-۵-۳ - ژل الکتروفورز |
| ۴۵..... | ۱-۶ - کنترل، پیشگیری و درمان |
| ۴۵..... | ۱-۶-۱ - کنترل و پیشگیری |
| ۴۶..... | ۱-۶-۲ - درمان |
| ۴۷..... | ۱-۷ - بیان مسئله |
| ۴۹..... | ۲ - فصل دوم: مواد و روش‌ها. |
| ۵۰..... | ۱-۲ - روش اجرا |
| ۵۰..... | ۱-۲-۱ - نوع مطالعه، جامعه مورد مطالعه و نمونه‌گیری |
| ۵۱..... | ۱-۲-۲ - شاخص آماری و سنجش فرم اطلاعاتی |
| ۵۱..... | ۱-۲-۲ - مواد و وسایل مورد نیاز |
| ۵۳..... | ۱-۲-۳ - آزمون‌ها |
| ۵۳..... | ۱-۲-۳-۱ - آزمون سرولوژی |
| ۶۱..... | ۱-۲-۲-۲ - آزمون مولکولی |
| ۶۱..... | ۱-۲-۲-۲-۱ - استخراج DNA |
| ۶۵..... | ۱-۲-۲-۲-۲ - PCR |
| ۶۷..... | ۱-۲-۲-۲-۳ - ژل الکتروفورز |
| ۶۹..... | ۳ - فصل سوم: نتایج |
| ۷۰..... | ۳-۱ - بررسی متغیرهای زمینه‌ای |
| ۷۰..... | ۳-۱-۱ - جنسیت |

| | |
|----|---|
| ۷۱ | ۳-۱-۲- سن |
| ۷۲ | ۳-۱-۳- مسافرت به خارج از کشور |
| ۷۳ | ۳-۱-۴- سابقه اهدای خون |
| ۷۴ | ۳-۲- بررسی شیوع B19 در بین اهداکنندگان خون |
| ۷۴ | ۳-۲-۱- یافته های آزمون ELISA |
| ۷۴ | ۳-۲-۱-۱- شیوع آنتی بادی IgG anti B19 در بین اهداکنندگان خون |
| ۷۵ | ۳-۲-۱-۲- شیوع آنتی بادی IgM anti B19 در بین اهداکنندگان خون |
| ۷۶ | ۳-۲-۲- یافته آزمون semi-nested PCR |
| ۷۷ | ۳-۳- بررسی ارتباط بین شیوع B19 با متغیرهای زمینه ای |
| ۷۷ | ۳-۳-۱- بررسی رابطه جنسیت و شیوع B19 |
| ۷۸ | ۳-۳-۲- بررسی رابطه سن و شیوع B19 |
| ۷۹ | ۳-۳-۳- بررسی رابطه مسافرت به خارج از کشور و شیوع B19 |
| ۸۰ | ۳-۴-۴- بررسی رابطه سابقه اهدای خون و شیوع B19 |
| ۸۱ | ۴- فصل چهارم: بحث و نتیجه گیری |
| ۸۷ | ۵- پیشنهاد |
| ۸۹ | ۶- منابع |

فهرست جداول‌ها

| | |
|---|-------|
| صفحه | |
| جدول ۱-۱: ویروس‌های بیماری‌زای مهره‌داران از خانواده پاروویرینه‌آ و بی‌مهرگان از خانواده دنزوویرینه‌آ | ۱۲ |
| جدول ۲-۱: تظاهرات عفونت حاد B19 در میزبان | ۲۱ |
| جدول ۳-۱: تظاهرات عفونت مزمن B19 در میزبان | ۲۳ |
| جدول ۴-۱: عوارض بالینی عفونت B19 | ۲۷ |
| جدول ۵-۱: حساسیت روش‌های تشخیصی عفونت B19 در ۳ حالت حاد، مزمن و گذشته | ۳۹ |
| جدول ۶-۱: درمان بیماری‌های ناشی از عفونت B19 | ۴۷ |
| جدول ۱-۲: معرفه‌های موجود در کیت IgG | ۵۴ |
| جدول ۲-۲: معرفه‌های موجود در کیت IgM | ۵۵ |
| جدول ۳-۲: آماده‌سازی محتویات کیت ELISA | ۵۶ |
| جدول ۴-۲: جدول تفسیر نتایج حاصل از ELISA | ۵۹ |
| جدول ۵-۲: کارایی کیت ELISA IgM پاروویروس B19 | ۶۰ |
| جدول ۶-۲: کارایی کیت ELISA IgG پاروویروس B19 | ۶۱ |
| جدول ۷-۲: معرفه‌های موجود در کیت استخراج اسید نوکلئیک High pure nucleic acid kit | ۶۲ |
| جدول ۸-۲: آماده‌سازی محلول‌های موجود در کیت استخراج اسید نوکلئیک High pure nucleic acid kit | ۶۳ |
| جدول ۹-۲: مواد مورد نیاز در انجام مرحله اول semi-nested PCR | ۶۵ |
| جدول ۱۰-۲: مواد مورد نیاز در انجام مرحله دوم semi-nested PCR | ۶۵ |
| جدول ۱۱-۲: چرخه دمایی در مرحله اول semi-nested PCR | ۶۶ |
| جدول ۱۲-۲: چرخه دمایی در مرحله دوم semi-nested PCR | ۶۶ |
| جدول ۱-۳: توزیع فراوانی اهداکنندگان خون بر اساس جنسیت | ۷۰ |
| جدول ۲-۳: توزیع فراوانی سنی اهداکنندگان خون | ۷۱ |
| جدول ۳-۳: توزیع فراوانی اهداکنندگان خون با سابقه مسافرت به خارج و بدون آن | ۷۲ |
| جدول ۴-۳: توزیع فراوانی اهداکنندگان خون با سابقه اهدای خون و بدون آن | ۷۳ |
| جدول ۵-۳: توزیع فراوانی شیوع IgG anti B19 در بین اهداکنندگان خون | ۷۴ |
| جدول ۶-۳: توزیع فراوانی شیوع آنتی‌بادی IgM anti B19 در بین اهداکنندگان خون | ۷۵ |

جدول ۷-۳: توزیع فراوانی آنتی بادی IgG anti B19 در زن و مرد..... ۷۷

جدول ۸-۳: توزیع فراوانی آنتی بادی IgG anti B19 در گروههای سنی مختلف..... ۷۸

جدول ۹-۳: توزیع فراوانی آنتی بادی IgG anti B19 در بین افراد با سابقه مسافرت به خارج از کشور و بدون آن..... ۷۹

جدول ۱۰-۳: توزیع فراوانی آنتی بادی IgG anti B19 در بین افراد با سابقه اهدای خون و بدون آن..... ۸۰

| | |
|-----------|---|
| صفحه..... | فهرست شکل‌ها..... |
| ۷..... | شکل ۱-۱: ساختار ژنوم B19..... |
| ۸..... | شکل ۱-۲: نمایش دو مسیر منجر به مرگ سلوی در اثر عفونت با B19..... |
| ۱۰..... | شکل ۱-۳: شمای طبقه‌بندی خانواده پاروویریده..... |
| ۱۳..... | شکل ۱-۴: نحوه تکثیر B19..... |
| ۱۶..... | شکل ۱-۵: شمای چرخه تکثیر B19..... |
| ۲۵..... | نمودار ۱-۱: مدیریت تشخیصی عفونت B19 در زنان باردار در معرض عفونت B19 و مقایسه پاسخ ایمنی در افراد سالم و گروههای پرخطر..... |
| ۲۸..... | شکل ۱-۶: نحوه عملکرد عفونت B19 در کودکان و افراد بالغ و جنین..... |
| ۳۰..... | شکل ۱-۷: عفونت B19 و علایم بالینی، تغییرات همولوژیک، ویرمی و پاسخ ایمنی در میزبان..... |
| ۳۲..... | شکل ۱-۸: رابطه تیتر ویروس و آنتی‌بادی‌های موجود در بدنه با مدت زمان در معرض ویروس بودن و ارزیابی‌های تشخیص ویروس در زمان عفونت B19..... |
| ۴۳..... | شکل ۱-۹: اساس عملکرد PCR..... |
| ۷۰..... | نمودار ۱-۳: نمودار درصد فراوانی اهداکنندگان خون به تفکیک جنسیت..... |
| ۷۱..... | نمودار ۲-۳: نمودار درصد فراوانی توزیع سنی در بین اهداکنندگان خون..... |
| ۷۲..... | نمودار ۳-۳: نمودار درصد فراوانی اهداکنندگان خون با سابقه مسافرت به خارج و بدون آن..... |
| ۷۳..... | نمودار ۴-۳: نمودار درصد فراوانی اهداکنندگان خون با سابقه اهدای خون و بدون آن..... |
| ۷۴..... | نمودار ۵-۳: درصد فراوانی شیوع IgG anti-B19 در بین اهداکنندگان خون..... |
| ۷۵..... | نمودار ۶-۳: درصد فراوانی شیوع آنتی‌بادی IgM anti-B19 در بین اهداکنندگان خون..... |
| ۷۶..... | شکل ۱-۳: الکتروفورز محصول semi-nested-PCR..... |
| ۷۷..... | نمودار ۷-۳: مقایسه فراوانی آنتی‌بادی IgG anti B19 در زن و مرد..... |
| ۷۸..... | نمودار ۸-۳: مقایسه فراوانی آنتی‌بادی IgG anti B19 در گروههای سنی مختلف..... |
| ۷۹..... | نمودار ۹-۳: مقایسه فراوانی آنتی‌بادی IgG anti B19 در بین افراد با سابقه مسافرت به خارج از کشور و بدون آن..... |
| ۸۰..... | نمودار ۱۰-۳: مقایسه فراوانی آنتی‌بادی IgG anti B19 در بین افراد با سابقه اهدای خون و بدون آن..... |

فصل اول: کلیات

پاروویروس‌ها^۱ به عنوان موضوعی برای مطالعه، برای گروه‌های مختلفی مورد توجه هستند. پاروویروس‌ها از این جهت برای دامپزشک‌ها مهم هستند که مسئول تعدادی از بیماری‌های جدی در حیوانات محسوب می‌شوند. برخی عفونت‌های پاروویروسی مانند پانلوكوپنیای^۲ گریه‌سانان و بیماری Aleutian در نوعی سمور به عنوان الگویی از بیماری انسان مورد توجه می‌باشند. همچنین اهمیت بالای آن‌ها برای زیست‌شناسان مولکولی به دلیل ژنوم محدودشان است که آن‌ها را برای بررسی تنظیم ژن مناسب ساخته است. با کشف اولین پاروویروس بیماری‌زا انسانی، HPB19V^۳ (که از این پس در این مطالعه جهت اختصار B19 نامیده خواهد شد)، به عنوان عامل بیماری‌زا انسانی وارد فهرست درس‌های پزشکی شد (Fields *et al.*, 1996). B19 در نیمة دهه ۱۹۷۰، کشف گردید (Cossart *et al.*, 1975). ماده ژنتیکی ذرات موجود در مرحله حاد سرمی به صورت DNA تکرشته است که طبقه‌بندی این ذرات ویروسی را به عنوان یک عضو مناسب از خانواده پاروویریده^۴ امکان‌پذیر می‌سازد (Clewley 1984; Summers 1983). B19 تنها عضو از این خانواده است که در انسان بیماری‌زا می‌باشد (Cossart *et al.*, 1975). اعضای خانواده بزرگ پاروویریده که به‌طور معمول برای حشرات و حیوانات بیماری‌زا هستند، کوچک‌ترین ویروس‌های DNA دار Mazzola (Biagini 2004).

در انسان، عفونت B19 بسیار شایع است و می‌تواند با طیف وسیعی از ناهنجاری‌های بالینی همراه شود که این ناهنجاری‌ها تحت تأثیر سن و وضعیت ایمنی میزبان می‌باشد. عوارض ناشی از B19 عبارت است از: بیماری پنجم (اریتمای عفونی) هیدروپیس فتالیس، بحران آپلاستیک گذراء، آرتروپاتی و آپلازی مادرزادی می‌شود (Mahmoodian Shooshtari *et al.*, 2005).

¹ Parvoviruses

² Panleucopenia

³ Human Parvovirus B19 Virus

⁴ Parvoviridae

یکی از راههای انتقال ویروس به میزبان انسانی از طریق قطرات آئروسلی حاوی ویروس B19 است. ویرمی یک هفته بعد از تماس با ویروس رخ می‌دهد و از طریق آنتیژن P یا گلوبوساید (Gb4) منجر به عفونت گلbulهای قرمز می‌شود (Brown *et al.*, 1993). یکی دیگر از راههای انتقال B19 انتقال از طریق خون و فراورده‌های خونی است. در بیماران HIV- مثبت، B19 عامل مهمی در کم خونی درمان‌پذیر محسوب می‌شود (Koduri *et al.*, 2002).

در کودکان، شایع‌ترین ظهور بالینی عفونت B19 بیماری پنجم یا اریتمای عفونی است (White *et al.*, 1985). هنگامی که بیماران مبتلا به پلی‌آرترازیا^۱ / پلی‌آرتریت برای نخستین بار به لحاظ بالینی تشخیص داده می‌شوند، باید از نظر حضور عفونت B19 مورد توجه واقع شوند (Naides *et al.*, 1990). مسئول بودن B19 در هیدروپیک شدن جنین (Anderson 1988) و هم شیاهت بالینی بیماری پنجم با سرخک و هم گرایش پاروویروس‌ها به سقط جنین منجر به کاوش سودمند و موفق در زمینه هیدروپیس فتالیس در انسان گردید (Hall 1990).

B19 به منظور همانندسازی نیازمند سلول‌های پیش‌ساز اریتروئیدی در مغز استخوان است و در طی همانندسازی این سلول‌ها را تخریب می‌کند (Henriques *et al.*, 2005). معمولاً "برای بررسی حضور B19 با استفاده از روش‌های ELISA^۲ و PCR^۳، نمونه‌ها از خون محیطی افراد و خون بند ناف در نوزادان (Ziyaeyan *et al.*, 2005) و مایع آمیوتیکی جنین (Crane *et al.*, 2002) به دست می‌آید.

B19 به دلیل مقاوم بودن به راحتی حذف نمی‌شود و در خون و فراورده‌های خونی باقی می‌ماند. در صورتی که مصرف کنندگان فراورده‌های خونی یکی از افراد گروههای پرخطر مانند:

- کودکان، به ویژه در سنین دبستان (B19 موجب بیماری پنجم می‌شود)
- والدین کودکان مبتلا به عفونت با B19
- زنان باردار (که B19 موجب عفونت جنین و بیماری می‌گردد.)

¹ Poly Arthralsia

² Enzyme Linked Immuno-assay

³ Polymerase Chain Reaction

- افراد مبتلا به کم خونی (موجب بحران آپلазی در این افراد می شود) (Morray 2002)
 - مبتلایان به لوسمی یا سرطان
 - افراد دارای نقص ایمنی
 - افرادی که عضوی پیوند کرده‌اند
 - افراد HIV مثبت (Mahmoodian Shooshtari *et al.*, 2005;**) باشند، ممکن است عاقب جدی در این افراد به وجود آورد و در نهایت هزینه‌های درمانی روانی را به جامعه تحمیل نماید (در این مطالعه، از این پس هر کجا که سخن از گروه‌های پرخطر به میان آید، منظور گروه‌های ذکر شده در بالاست).
- امروزه با وجود خطر باقی مانده از انتقال ویروس‌ها از راه خون، نگرانی تأمین خون سالم به طور چشمگیری کاهش یافته است. تأمین خون سالم برای بانک‌های خون بسیار مهم است. اخیراً "انجام روش‌های تکثیر اسید نوکلئیک برای تشخیص ویروس HIV تیپ ۱، ویروس هپاتیت C و ویروس هپاتیت B توسعه یافته است که با کاهش دوره پنجره، ایمنی را افزایش می‌دهد (Thomas *et al.*, 2002). در کنار HIV، HCV و HBV، ویروس‌های کمتر خطرناکی وجود دارد که البته این ویروس‌های کمتر خطرناک در گروه‌های پرخطر عوارضی در پی دارد؛ به همین دلیل توجه به تأمین خون سالم اهمیت می‌یابد. B19 مثالی از این دسته ویروس‌هاست. به نظر می‌رسد، این ویروس در افراد سالم اهمیتی نداشته باشد، اما در گروه‌های پرخطر، موجب عوارض بالینی جدی می‌شود.
- با بررسی و تعیین میزان شیوع B19 در بین جمعیت اهداکنندگان خون می‌توان به یافته‌های آماری‌ای دست یافت که پیش درآمدی باشد بر مطالعات بعدی که به هنگام تفسیر داده‌های اپیدمیولوژی، پیوند مغز استخوان یا بررسی عوارض بالینی ناشی از عفونت B19 مفید واقع شود.

۱-۲- تاریخچه:

پاروویروس از کلمه یونانی *parvum* به معنای کوچک مشتق شده است (Henriques *et al.*, 2005; Ergaz *et al.*, 2006) در ۱۹۷۵م، در انگلستان و در مطالعه‌ای که بر روی هپاتیت B در نمونه‌های سرمی اهداکنندگان سالم خون انجام می‌گرفت، کشف شد (Cossart *et al.*, 1975). در طی الکتروفورز نمونه‌ها، یک باند غیرعادی در نمونه شماره ۱۹ در پانل B مشاهده شد؛ به همین دلیل ویروس تازه کشف شده B19 و در ادامه پاروویروس نامیده شد van (Ergaz *et al.*, 2006; Cotmore *et al.*, 2006). در دهه ۱۹۸۰م، ژنوم B19 کلون و تعیین توالی شد (Gessel *et al.*, 2006) در ۱۹۸۵م، در عنوان عضوی از خانواده پاروویریده طبقه‌بندی شد (Peterlana *et al.*, 2006).

در ۱۹۸۲م، سنجش رادیوایمونو (RIA)^۱ برای تعیین آنتی‌بادی‌های اختصاصی علیه B19 پایه‌ریزی شد (Anderson *et al.*, 1982). سپس ارزیابی آنزیمی با استفاده از مواد واکنش ایمنی متصل به آنزیم (ELISA) برای این منظور طراحی شد (Anderson *et al.*, 1986). در این سنجش، ویروس از بیماران مرحله ویرمی (به عنوان منبع آنتی‌ژن) به دست آمد. در همین زمان، B19 برای اولین بار در شرایط آزمایشگاه^۲ با استفاده از سلول‌های مغز استخوان انسان کشت داده شد (Ozawa *et al.*, 1986).

حساسیت و اختصاصی بودن ELISA مورد تأیید واقع شد و مشخص گردید که واکنش‌های غیراختصاصی می‌توانند تا ۲۰ هفته پس از ویرمی بررسی شوند (Schwarz *et al.*, 1988).

¹ Radio Immuno Assay

² In vitro

۱-۳-۱- ویروس

۱-۳-۱- ساختار

پاروویروس‌ها ذراتی با کپسید بیست وجهی، بدون پوشش، و دارای قطر $18-26$ نانومتر هستند.(Bdour 2006;Brooks 2001; Henriques *et al.*, 2005; Melnick *et al.*, 1993; Morray 2002) وزن مولکولی آن‌ها $149-391$ دالتون، چگالی شناوری آن‌ها $5-6 \times 10^5$ g/cm³ است. پاروویروس‌ها بسیار مقاوم هستند؛ pH بین $3-9$ و یا حرارت 56°C را به مدت 60 دقیقه تحمل می‌کنند (Melnick *et al.*, 1993).

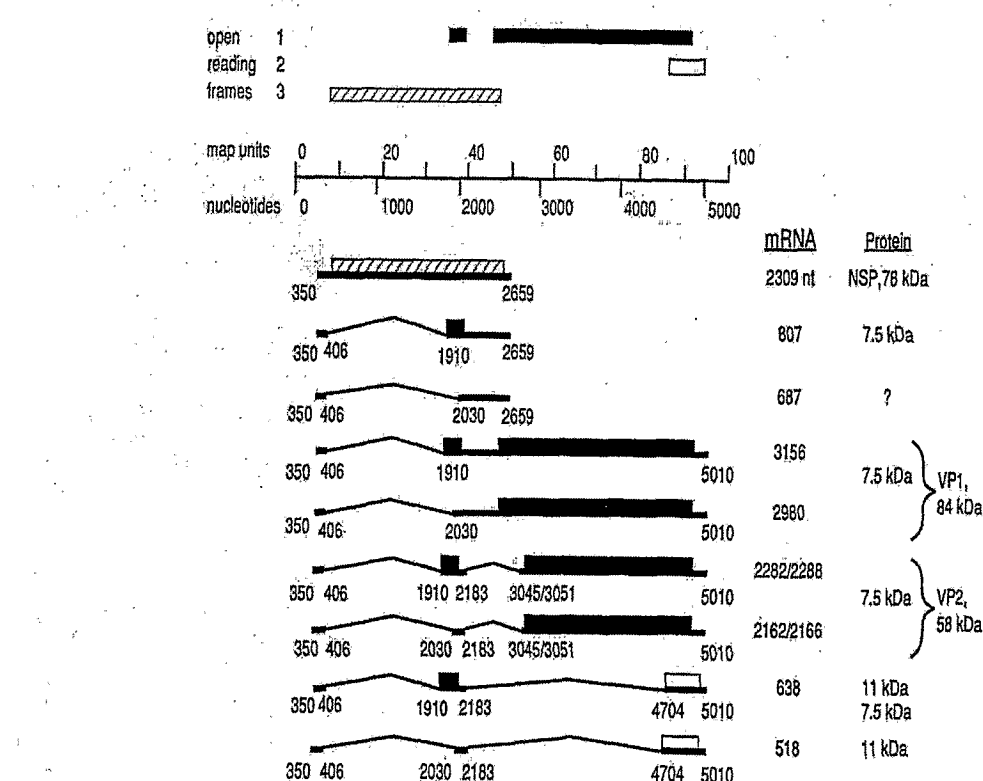
۱-۳-۲- ژنوم

ژنوم پاروویروس‌ها زنجیر تکرشته DNA خطی به اندازه 5kbp و وزن مولکولی $15-2 \times 10^9$ دالتون است (Brooks 2001).

ژنوم B19 شامل یک DNA تکرشته با 5596 نوکلئوتید است که از یک ناحیه کدکننده داخلی به طول 4830 نوکلئوتید در مجاورت توالی پالیندروم انتهایی، به طول 383 نوکلئوتید، تشکیل شده است. پالیندروم‌ها می‌توانند آرایش فضایی سنجاق سر مانند را به خود بگیرند و از پرایمرها در ساخت رشتۀ مکمل محافظت کنند. ژنوم پاروویروس دو قالب خواندن^۱ دارد که دو پروتئین ساختاری را کد می‌کند: VP₁ و VP₂ که در ناحیه راست ژنوم قرار دارند؛ و همچنین یک پروتئین غیرساختاری مهم: NS₁ که در ناحیه چپ ژنوم واقع است (Ergaz *et al.*, 2006; a: Ozawa *et al.*, 1987; b: 1988 Shade *et al.*, 1986). می‌تواند تحت تأثیر آنزیم‌های محدودگر نوکلئازی، پلی‌مرفیسم را در محصولات PCR نشان دهد که به این معناست: B19 دستخوش تغییرات توالی‌های نوکلئوتیدی است (Umene *et al.*, 1993). نواحی VP₁ و VP₂ یک توالی بسیار متغیر را نشان می‌دهند؛ در مقابل، ناحیه NS₁ بسیار حفاظت شده است

¹ Open Reading Frame (ORF)

در مطالعه‌ای که بر روی افرادی با عفونت مزمن صورت گرفت، این تغییرات ۴ تا ۸ درصد در سطح DNA و آمینواسید نشان داده شد (Hemauer *et al.*, 1996). این مطلب به ویژه برای ناحیه شاخص VP₁ صحت دارد و جالب این که تغییرات تأثیری بر روی خاصیت ایمونولوژیک یا تظاهرات بالینی B19 ندارد (Heegaard *et al.*, 2002).



Genome structure of B19 parvovirus. Nonstructural protein is encoded by the only unspliced RNA species from the left side of the genome. Unusual polyadenylation signals are utilized in the middle of the genome. Structural protein transcripts are located on the right side of the genome and encoded by overlapping RNAs in the same reading frame. Transcription map redrawn from Luo and Astell (122), with permission.

شکل ۱-۱: ساختار ژنوم B19 (Fields 1996)

یکی از دو رشتہ مثبت یا منفی DNA در درون کپسید جای دارند (Ergaz *et al.*, 2006). پروتئین‌های کپسید با تقارن بیست وجهی آرایش یافته‌اند و شامل ۶۰ کپسومرند که محصول ناحیه VP₂ می‌باشند (Ozawa *et al.*, 1987). سایر پروتئین‌های VP₁ ساختاری ویروس، ۵ درصد باقی‌مانده پروتئین ویروس را تشکیل می‌دهند. پروتئین₂ وزن ملکولی ۵۸ کیلو Daltonی دارد که